Бороалитирование повышает прочность исследованных сталей на 3—5 %. Закономерности в изменении механических свойств с увеличением толщины диффузионных слоев не обнаружено.

Диффузионное хромирование повышает износостойкость инструментальных сталей в 5—6 раз, бороалитирование — в 10—12 раз.

Следует отметить, что износостойкость углеродистой стали У8 с карбидными покрытиями в 3 раза, а с боридными — почти в 10 раз выше по сравнению с износостойкостью высоколегированной стали X12Ф1 после термообработки. Таким образом, в ряде случаев для изготовления штампового инструмента можно применять углеродистые стали с износостойкими диффузионными покрытиями.

УДК 539.219.3

Л.Г.ВОРОШНИН, д-р техн.наук, Е.М.ХУСИД (БПИ)

ПРОЦЕССЫ ДИФФУЗИИ УГЛЕРОДА В ЛЕГИРОВАННЫХ СТАЛЯХ С ДИСПЕРСНЫМИ ЧАСТИЦАМИ КАРБИДОВ РАЗНОГО ТИПА

Основная особенность диффузионных процессов при цементации высоколегированных сталей состоит в том, что они сопровождаются карбидными превращениями дисперсных частиц. Ранее нами разработана математическая модель цементации низколегированной стали Fe—C—Me, когда в ее исходной структуре и диффузионном слое имеются только частицы легированного цементита [1, 2]. При этом для описания кинетики роста частицы использована ячеистая модель сплава. В данной работе эта модель дополнена кинетикой фазовых превращений дисперсных частиц в диффузионной зоне. Известны два механизма этого явления при термообработке: а) зародыши нового карбида возникают на поверхности частицы и растут, постепенно охватывая всю частицу; б) зародыши возникают в дефектных местах и растут, а частицы карбида старого типа постепенно растворяются. Второй механизм требует сильного пересыщения твердого раствора, что маловероятно при цементации легированных сталей с большим числом дисперсных частиц. Поэтому кинетика фазового превращения описывается на основе первого механизма.

При описании процессов диффузии при цементации сплава с дисперсными частицами используют две группы уравнений: 1) уравнения баланса массы каждого элемента вдоль диффузионной зоны с учетом обмена атомами между твердым раствором и дисперсными частицами; 2) уравнения изменения размера и состава частицы, расположенной на фиксированном расстоянии от насыщаемой поверхности.

Уравнение баланса массы:

$$\frac{\partial}{\partial t}[(1-V)\overline{C}_i + V\overline{C}_i^{\mathsf{H}}] = \frac{\partial}{\partial x}[(1-V)\sum_{j=1}^2 \widetilde{D}_{ij} \frac{\partial \overline{C}_j}{\partial x}], i = 1, 2, \quad (1)$$

где V- объемная доля частиц; $V=rac{4}{3}\pi R^3 N$; R- радиус частицы; N- число

частиц в едином объеме; \overline{C}_i , \overline{C}_i^4 — содержание i-го элемента в твердом растворе и частице; i=1 — углерод, i=2 — легирующий элемент; \widetilde{D}_{ij} — коэффициенты взаимной диффузии в твердом растворе.

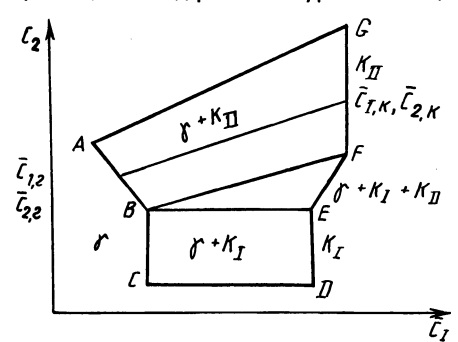
Уравнения роста однофазной частицы [2, 3]:

$$W(R)R\frac{\partial R}{\partial t} = \frac{\widetilde{D}_{11}(\overline{C_{1}} - \overline{C_{1,r}}) + \widetilde{D}_{12}(\overline{C_{2}} - \overline{C_{2,r}})}{\overline{C_{1,\kappa}} - \overline{C_{1,r}}};$$

$$W(R)R\frac{\partial R}{\partial t} = \frac{\widetilde{D}_{21}(\overline{C_{1}} - \overline{C_{1,r}}) + \widetilde{D}_{22}(\overline{C_{2}} - \overline{C_{2,r}})}{\overline{C_{2,\kappa}} - \overline{C_{2,r}}};$$

$$W(R) = \frac{(R_{*} - R)(2R_{*} + R)}{2(R_{*}^{2} + R_{*}R + R^{2})}; R_{*} = (\frac{3}{4\pi N})^{1/3};$$
(2)

где $\overline{C}_{i,r}$ — состав твердого раствора на границе с частицей; $\overline{C}_{i,\kappa}$ — состав частицы. Эти величины находятся соответственно на кривых растворимости AB,BC и DE,FG равновесной диаграммы системы Fe-C-Me и связаны конодой (рис. 1). Метод решения уравнений (2) описан в [2, 3].



Puc. 1. Равновесная диаграмма системы Fe—Me—C

Уравнения роста двухфазной частицы:

$$\begin{split} W(R)R \, \frac{\partial R}{\partial t} &= \frac{(\overline{C}_{2,E} - \overline{C}_{2,F}) \, \omega_1 - (\overline{C}_{1,E} - \overline{C}_{1,F}) \, \omega_2}{(\overline{C}_{1,F} - \overline{C}_{1,B}) \, (\overline{C}_{2,E} - \overline{C}_{2,F}) - (\overline{C}_{2,F} - \overline{C}_{2,B}) \, (\overline{C}_{1,E} - \overline{C}_{1,F})} \,; \\ \frac{W(R)R^2}{3} \, \frac{\partial \, \varphi}{\partial \, t} &= -\frac{[\overline{C}_{2,F} + \varphi(\overline{C}_{2,E} - \overline{C}_{2,F}) - \overline{C}_{2,B}] \omega_1 - [\overline{C}_{1,F} + \varphi(\overline{C}_{1,E} - \overline{C}_{1,F}) - \overline{C}_{1,B}] \omega_2}{(\overline{C}_{1,F} - \overline{C}_{1,B}) \, (\overline{C}_{2,E} - \overline{C}_{2,F}) - (\overline{C}_{2,F} - \overline{C}_{2,B}) \, (\overline{C}_{1,E} - \overline{C}_{1,F})}, \, (3) \end{split}$$
 где $\omega_1 = \widetilde{D}_{11} \, (\overline{C}_1 - \overline{C}_{1,B}) + \widetilde{D}_{12} \, (\overline{C}_2 - \overline{C}_{2,B}) \, ; \, \omega_2 = \widetilde{D}_{21} \, (\overline{C}_1 - \overline{C}_{1,B}) + \widetilde{D}_{22} \, (\overline{C}_2 - \overline{C}_{2,B}) \, ; \, \omega_2 = \overline{D}_{21} \, (\overline{C}_1 - \overline{C}_{1,B}) + \overline{D}_{22} \, (\overline{C}_2 - \overline{C}_{2,B}) \, ; \, \omega_3 = \overline{D}_{21} \, (\overline{C}_1 - \overline{C}_{1,B}) + \overline{D}_{22} \, (\overline{C}_2 - \overline{C}_{2,B}) \, ; \, \omega_3 = \overline{D}_{21} \, (\overline{C}_1 - \overline{C}_{1,B}) + \overline{D}_{22} \, (\overline{C}_2 - \overline{C}_{2,B}) \, ; \, \omega_4 = \overline{D}_{21} \, (\overline{C}_1 - \overline{C}_{1,B}) + \overline{D}_{22} \, (\overline{C}_2 - \overline{C}_{2,B}) \, ; \, \omega_5 = \overline{D}_{21} \, (\overline{C}_1 - \overline{C}_{1,B}) + \overline{D}_{22} \, (\overline{C}_2 - \overline{C}_{2,B}) \, ; \, \omega_5 = \overline{D}_{21} \, (\overline{C}_1 - \overline{C}_{1,B}) + \overline{D}_{22} \, (\overline{C}_2 - \overline{C}_{2,B}) \, ; \, \omega_5 = \overline{D}_{21} \, (\overline{C}_1 - \overline{C}_{1,B}) + \overline{D}_{22} \, (\overline{C}_2 - \overline{C}_{2,B}) \, ; \, \omega_5 = \overline{D}_{21} \, (\overline{C}_1 - \overline{C}_{1,B}) + \overline{D}_{22} \, (\overline{C}_2 - \overline{C}_{2,B}) \, ; \, \omega_5 = \overline{D}_{21} \, (\overline{C}_1 - \overline{C}_{1,B}) + \overline{D}_{22} \, (\overline{C}_2 - \overline{C}_{2,B}) \, ; \, \omega_5 = \overline{D}_{21} \, (\overline{C}_1 - \overline{C}_{1,B}) + \overline{D}_{22} \, (\overline{C}_2 - \overline{C}_{2,B}) \, ; \, \omega_5 = \overline{D}_{21} \, (\overline{C}_1 - \overline{C}_1, \overline{C}_1) + \overline{D}_{22} \, (\overline{C}_2 - \overline{C}_2, \overline{C}_2) \, ; \, \omega_5 = \overline{D}_{21} \, (\overline{C}_1 - \overline{C}_1, \overline{C}_1) + \overline{D}_{22} \, (\overline{C}_2 - \overline{C}_2, \overline{C}_2) \, ; \, \omega_5 = \overline{D}_{21} \, (\overline{C}_1 - \overline{C}_1, \overline{C}_2) + \overline{D}_{22} \, (\overline{C}_2 - \overline{C}_2, \overline{C}_2) \, ; \, \omega_5 = \overline{D}_{21} \, (\overline{C}_1 - \overline{C}_1, \overline{C}_2) + \overline{D}_{22} \, (\overline{C}_2 - \overline{C}_2, \overline{C}_2) \, ; \, \omega_5 = \overline{D}_{21} \, (\overline{C}_1 - \overline{C}_1, \overline{C}_2) \, ; \, \omega_5 = \overline{D}_{21} \, (\overline{C}_1 - \overline{C}_1, \overline{C}_2) + \overline{D}_2 \, (\overline{C}_2 - \overline{C}_2, \overline{C}_2) \, ; \, \omega_5 = \overline{D}_2 \, (\overline{C}_1 - \overline{C}_1, \overline{C}_2) \, ; \, \omega_5 = \overline{D}_2 \, (\overline{C}$

Граничные и начальные условия к уравнениям (1) - (3) записываются как и для сплава с частицами одного типа [2,3]:

$$-(1-V)\sum_{j=1}^{2}D_{ij}\frac{\partial\overline{C}_{j}}{\partial x} = \sum_{j=1}^{2}V_{ij}(\overline{C}_{j}^{\Pi} - \overline{C}_{j}|_{x=0}),$$

$$\sum_{j=1}^{2}\widetilde{D}_{ij}\frac{\partial\overline{C}_{j}}{\partial x}|_{x+\infty} = 0; \ \overline{C}_{j}|_{t=0} = \overline{C}_{j,H}(x); \ R|_{t=0} = R_{H}(x);$$

$$\varphi|_{t=0} = \varphi_{H}(x), \qquad (4)$$

где $\overline{C}_{j}^{\text{n}}$ — предельные значения концентраций элементов на насыщаемой поверхности; $R_{\text{H}}\left(x\right)$, $\varphi_{\text{H}}\left(x\right)$ — начальное распределение размера и состава дисперсных частиц; $\overline{C}_{j,\text{H}}\left(x\right)$ — начальное распределение элементов в твердом растворе; V_{jj} — коэффициенты массопередачи: для цементации $V_{21}=V_{12}=V_{22}=0$.

Для решения уравнений (1) — (4) построена неявная конечно-разностная схема. Программа составлена для EC-1022. Численные расчеты выполнены для системы Fe—C—Cr. Рассчитано насыщение при 850, 900 и 1000 $^\circ$ · сталей с содержанием 0,3 и 0,8 % углерода, 4,7 и 10 % хрома (по массе). Углеродный потенциал атмосферы варьировался от 0,6 до 1,8, плотность частиц — от 10^6 до 10^9 см $^{-3}$.

Расчеты показали, что практически весь углерод, поступающий в диффузионную зону, переходит в дисперсные частицы. Объемная доля карбидной фазы резко снижается с удалением от насыщаемой поверхности. Содержание хрома в частицах уменьшается по мере приближения к насыщаемой поверхности. Изза малой подвижности хром, вышедший из частиц, незначительно перераспределяется вдоль диффузионной зоны, поэтому около поверхностных слоев аустенит обогащен хромом. Для углеродных потенциалов выше 0,7-0,8 % точные их значения зависят от содержания хрома и температуры в диффузионной зоне. В дисперсных частицах происходит фазовое превращение: специальный карбид (Fe, Cr), С, превращается в легированный цементит (Fe, Cr), С. С увеличением длительности цементации и температуры толщина слоя с частицами легированного цементита увеличивается. Из расчетов видно, что число дисперсных частиц И в единице объема является одной из наиболее важных характеристик процесса. С увеличением N резко возрастают содержание углерода в диффузионной зоне и объемная доля карбидных частиц. Пересыщение аустенита несколько снижается. При больших значениях углеродного потенциала около насыщаемой поверхности дисперсные частицы срастаются, образуя сплошной слой легированного цементита. Затем расчет прекращался, С увеливремя, необходимое для образования сплошного слоя, чением числа частиц резко уменьшается.

В рассмотренном диапазоне состав стали и температур насыщения характеристики процесса качественно не меняются, имеются лишь количественные различия. В сталях с низким содержанием углерода высокотемпературное состояние соответствует однофазной области, а с высоким содержанием углерода — двухфазной области. Поэтому в первом случае в глубине дисперсные частицы отсутствуют, во втором — их объемная доля приближается к значению, соответствующему равновесному состоянию стали.

ЛИТЕРАТУРА

1. Борд Н.Ю., Блох Е.М. Кинетика диффузионного массопереноса в многокомпонентных диффузионных системах. — В кн.: Теплофизические процессы в энергетических установках. Мн.: АН БССР, 1982, с. 183—186. 2. Ворошнин Л.Г., Блох Е.М. Диффузионные процессы в двухфазной области при цементации легированных сталей. — В кн.: Металлургия. Мн.: Выш. шк., 1983, вып. 17, с. 123—126. 3. Ворошнин Л.Г. и др. Многокомпонентная диффузия в гетерогенных сплавах. — Мн.: Выш. шк., 1984. — 142 с.

УДК 621.536+538:669.14

А.В.БЕЛЫЙ, канд.техн.наук, С.К.ШИХ (ФТИ АН БССР)

ВЛИЯНИЕ ПОВЕРХНОСТНОГО ЛЕГИРОВАНИЯ УГЛЕРОДОМ НА ИЗНОСОСТОЙКОСТЬ СТАЛИ

Для исследования была выбрана Ct2 в состоянии поставки. Образцы диаметром 16 мм подвергались механической полировке до шероховатости с параметром Ra 0,14. Насыщение поверхности углеродом осуществлялось при помощи пучка ионов с энергией 100 кэВ до доз 10^{16} и 10^{17} ион/см 2 . Температура образцов в процессе обработки не превышала 350 K.

Износостойкость образцов исследовалась по схеме диск—вращающийся палец со сферическим закруглением радиуса 3 мм на воздухе и в вакууме (10⁻⁴ МПа). Палец был изготовлен из стали 45 в состоянии поставки, исходный параметр шероховатости рабочей поверхности пальца составлял 0,64 мкм, скорость вращения 600 об/мин, а среднее номинальное давление 0,6 МПа. Степень изнашивания оценивалась путем сравнения интегральных площадей номинального контакта по профилограммам обработанных и исходных образцов [1].

Из табл. 1 видно, что износостойкость как в вакууме, так и на воздухе увеличивается с ростом концентрации внедренной примеси.

Износостойкость в вакууме легированных дозами 10¹⁶ и 10¹⁷ ион/см² образцов возросла в 1,5 и 1,7 раза, а на воздухе — в 1,2 и 1,7 раза. Следует отметить, что глубина следа изнашивания значительно превышает толщину имплантированного слоя, т. е. изменение свойств происходит на глубине, гораздо большей максимума залегания примеси. Аналогичное явление наблюдалось и на других сталях [2], однако единого мнения о природе явления нет. Выдвигаются гипотезы о миграции атомов примеси в глубь материала в процессе изнашивания, влиянии радиационных дефектов, возникающих во время обработки, сохранении в зоне контакта фрагментов изнашивания, принадлежащих

Таблица 1

Доза облучения, ион/см ²		0	10 ¹⁶	10 ¹⁷	
Интегральная площадь, см ² вакуум воздух	вакуум	320	210	190	
	воздух	250	210	150	